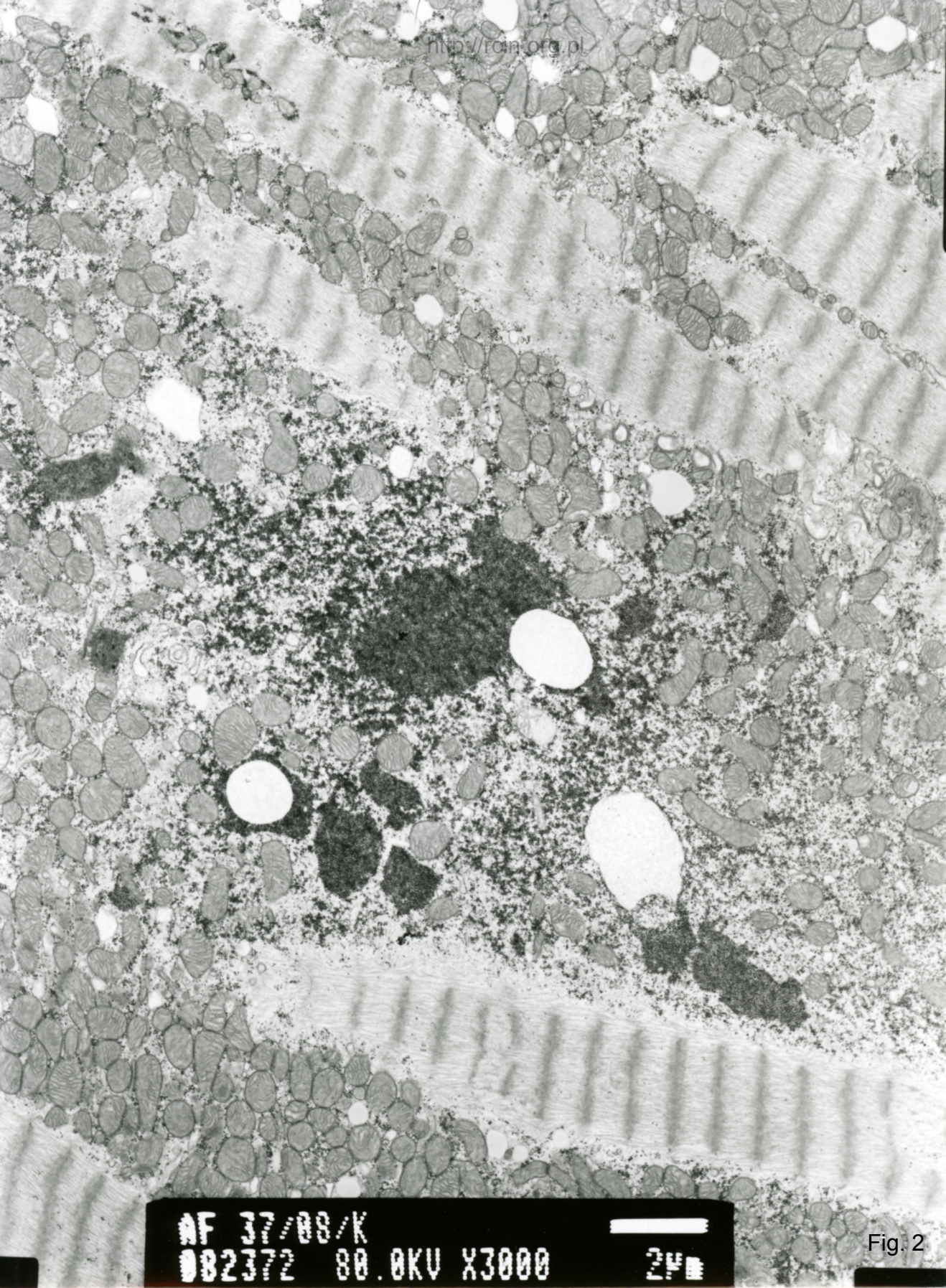


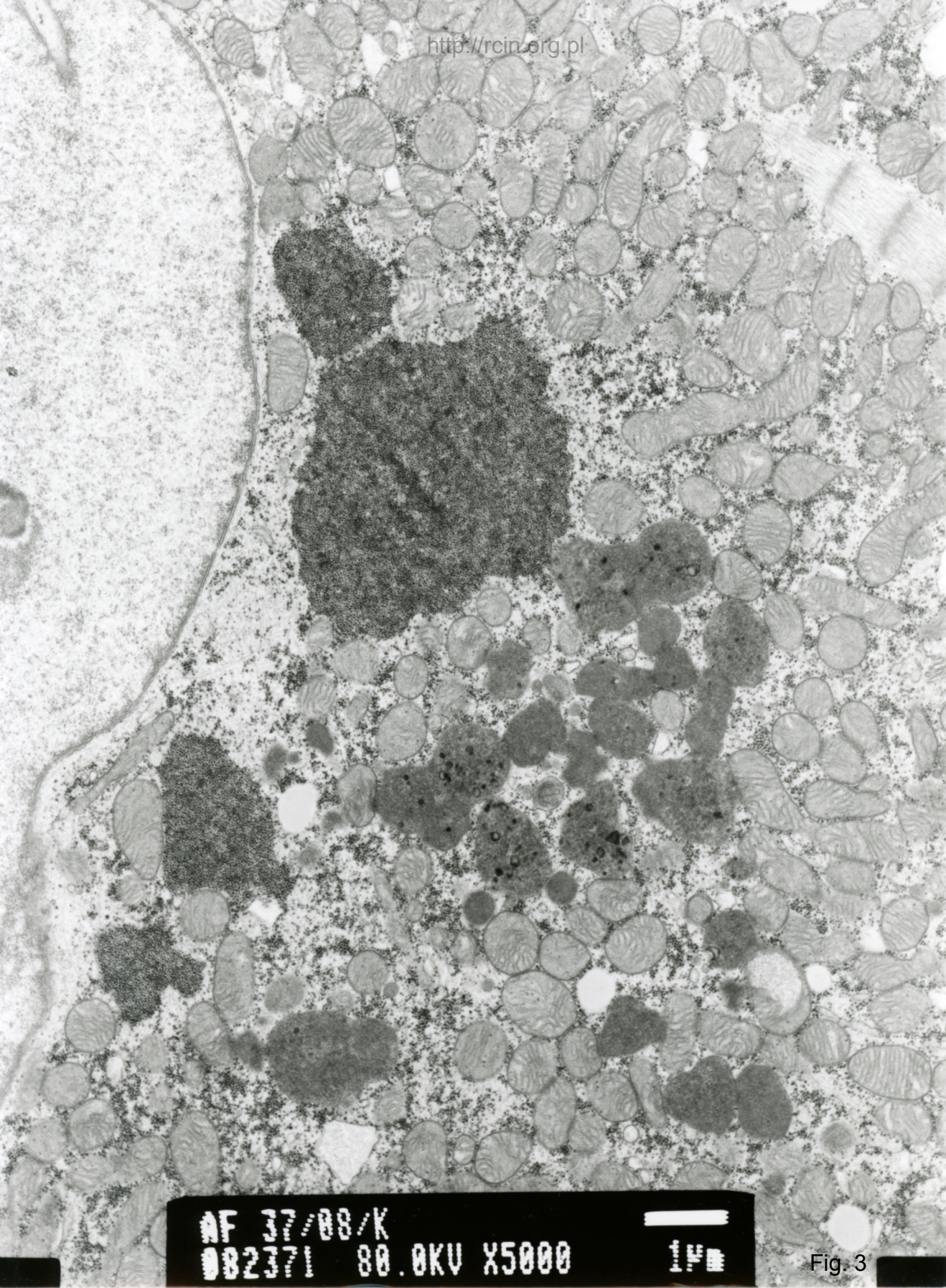
AF 37/08/K
082374 80.0KV X2500 2µm

Fig. 1

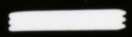


AF 37/88/K
082372 80.0KV X3000 24

Fig. 2

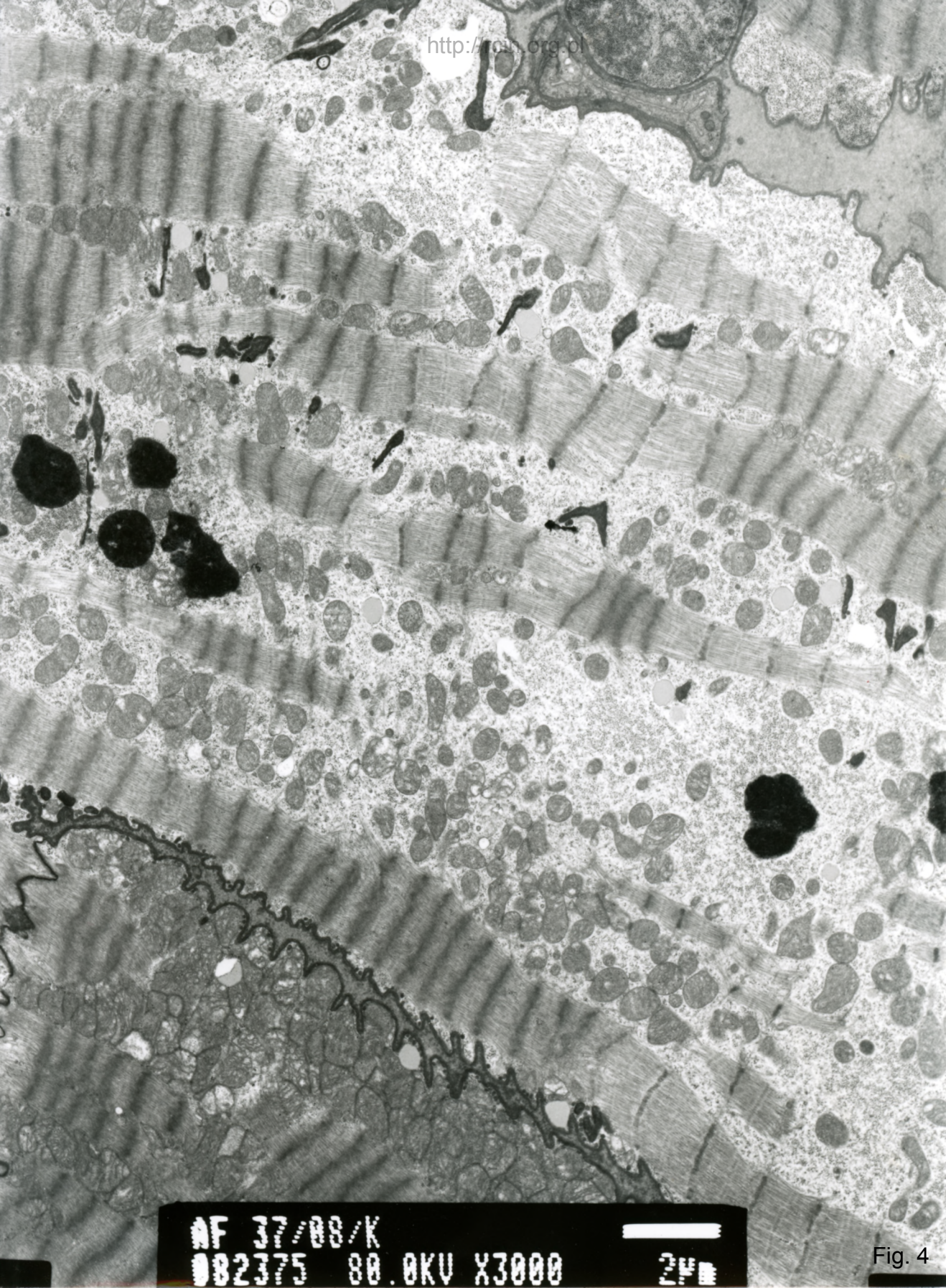


AF 37/88/K
082371 80.0KV X5000



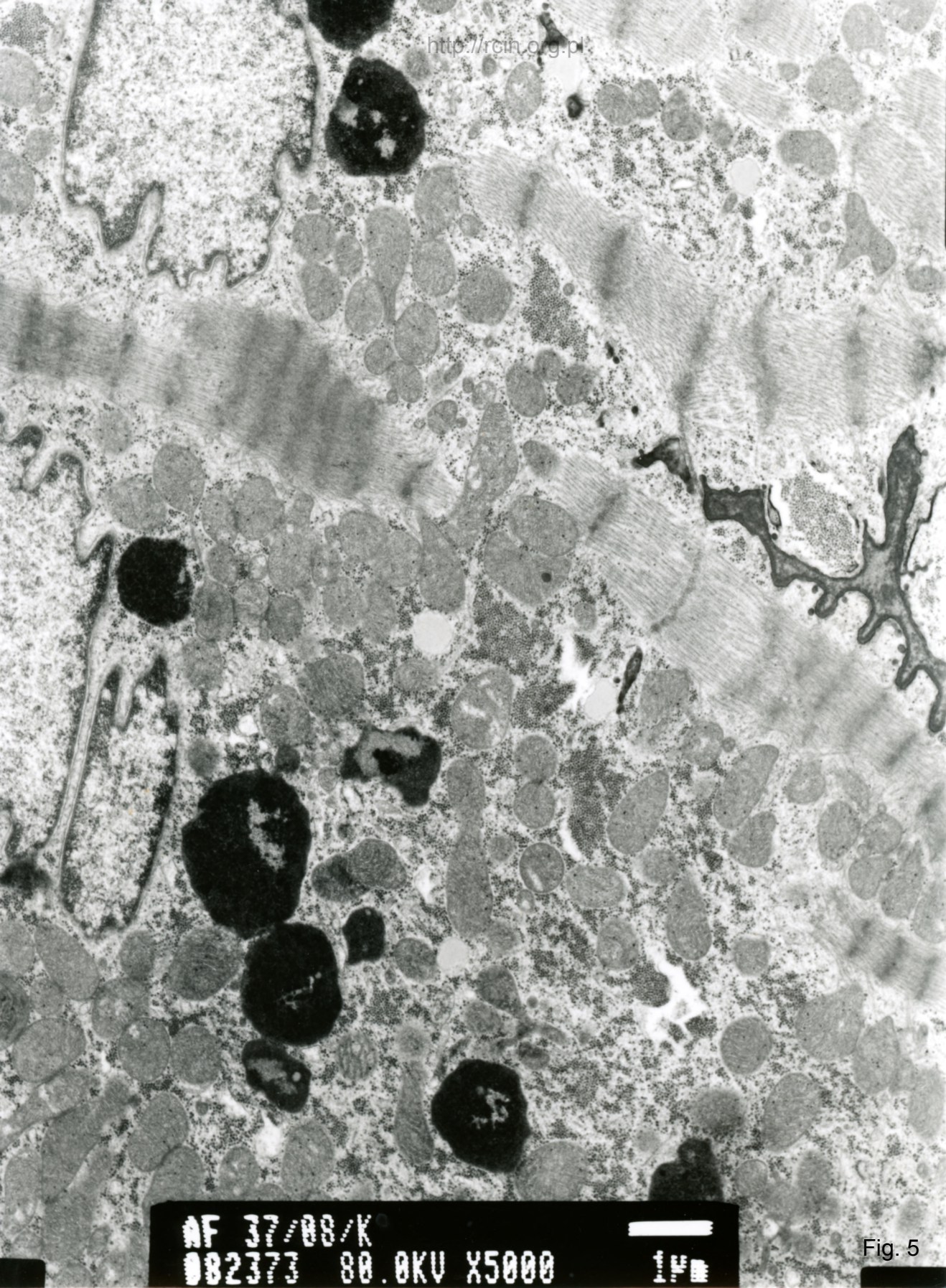
1µm

Fig. 3



AF 37/88/K
082375 80.0KV X3000 24

Fig. 4



AF 37/88/K
082373 80.0KV X5000

Fig. 5

37/08

Rozpoznanie:

Analiza w mikroskopie elektronowym wykazała obecność degenerujących miofibryli. Obserwowano ich dezorganizację, a miejscowo zupełny zanik. W przestrzeni zewnątrzkomórkowej obecna była dość obfita tkanka łączna (Fig. 1). W sarkoplazmie występowały obficie ziarna glikogenu, rozproszone i w postaci skupisk (Fig. 2,3). Pomędzy rozproszonymi miofibrylami widoczne były lipofuscyny, występujące szczególnie licznie w okolicy jąder miocytów (Fig. 4,5).

Electron microscopy analysis revealed the presence of degenerating myofibrils. Their disorganization and focally complete loss of myofibrils was observed. In the extracellular space connective tissue was present (Fig. 1). Glycogen granules were abundant in the sarcoplasm, some of them formed clusters (Figs. 2,3). Lipofuscin deposits were visible between the scattered myofibrils, mostly near the myocyte nuclei (Figs. 4,5).